

(討12) 人工サビに関する研究

東京大学 工学部

○増子 昇

(I) はじめに

自ら塗装する鋼と呼ばれる耐候鋼のように、サビ層の保護性を利用する実用材料が生れると、信頼のための加速試験の方法とか保護性を有する安定サビを短期間に生成させる方法といった技術的な問題が生まれる。サビは單に発生を防止することの対象から積極的に利用することの対象に変化し、昔から重要性が指摘されながら伸び現実の研究の進んでいなかったサビ層の組織の解明が一層現実の問題となつて来た。耐候鋼と普通鋼とは初期のサビ発生の状況、サビの構成物質の同定などの面では差がなく、何故に成分元素の少量の差が長期間暴露後のサビ層の保護性の差となつて現われるかについては不明であるといつてよい。

われわれもまたこの問題への寄与を目的として研究を計画し、先ず実験的にコントロールできるような形でサビ類似の水和酸化物凝集体を作ることを種々試み、幸いに新しい研究手段を見出すことができた。^{*}すなわち、濃厚なアルカリ溶液と金属塩溶液とを静かに接觸させて、少なくとも外見上はサビによく似た物質を溶液の接觸界面に作ることができた。この方法は溶液同士をかきませ混合して反応させる方法と異なり次のような特長を有している。

- アルカリおよび金属塩溶液は界面の凝集体を通して徐々に反応する。
- 反応の様子が時間と共に多様に変化し種々の反応生成物が層状に現われる。
- 反応溶液成分のわずかずつ変化によって、反応の様式、生成物の物性が変化する。

陽イオンは金属塩溶液側、陰イオンはアルカリ溶液側に入れて反応に及ぼす効果を見ることができます。

- 生成した凝集体は、2成分以上の金属塩を含む溶液から生成した場合特に、heterogeneousな組織を持つ。ヒケ・成長ラセン等が見られる場合も多い。

われわれはこの方法で製造した凝集体を人工サビ(擬似サビ)と呼んでいる。耐候鋼を理解するための一つのアプローチとして、長年月大気暴露試験で耐候性向上に寄与することが明らかになっている合金添加元素を、イオンの形でこの人工サビ生成反応に関与させたとき、人工サビの特性にどのような変化を与えるかを調べている。現在までに得られた結果を報告する。

(II) 塩化物溶液より生成した人工サビの性質

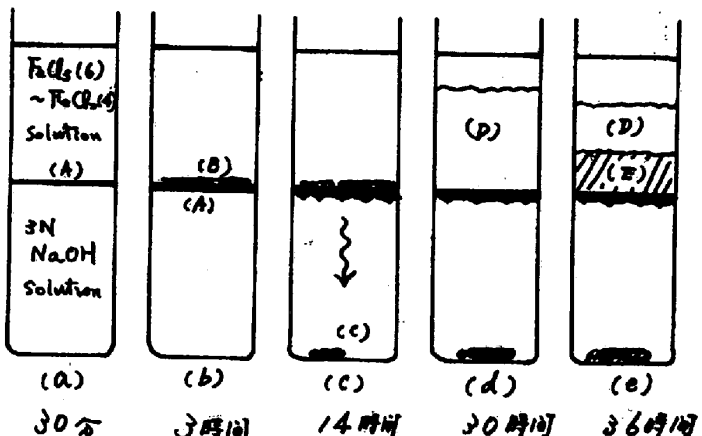
1) 人工サビの生成

内径14mmの試験管に3N-NaOH 5mlをとり、金属塩溶液5mlを静かに注加して空気中に開放のまま25°Cの恒温槽に入れて静置する。金属塩溶液は $\text{FeCl}_3 \sim \text{FeCl}_2 \sim \text{CuCl}_2$ の混合溶液で、金属塩の全濃度は0.75Mである。 $\text{Fe}(\text{II})$, $\text{Fe}(\text{II})$, $\text{Cu}(\text{II})$ の順に、合計10:7:3の数字でそれぞれの存在量を示す。例えば(6-3-1)組成の溶液は $\text{FeCl}_3 : \text{FeCl}_2 : \text{CuCl}_2 = 6 : 3 : 1$ となることを示している。(6-4-0)組成の溶液による人

*1 増子 昇・久松敬弘：第13回腐食防食討論会(昭42, 11月, 於松山)。

エサビ生成の様子を第1圖に示した。a)金属塩溶液を注入した直後には不透明のコロイド粒子の結合膜(A)ができる。b)数時間たつとAの部分はしつかりとした凝集体(人工サビ)に変り、その上部に黄色粉状の沈殿(B)ができる。上部の溶液は一様に暗赤色に変化して行く。c)さらに時間がたつとAの下部が崩落はじめる(C)。d)上部に一様にフロック状の $\text{Fe}(\text{III})$ の水和酸化物の沈殿(D)が生成する。e)次いで、Bが消失して黒色沈殿の層(E)が徐々に成長してくる。

人工サビ(A)と他の沈殿とはデカンテーションにより容易に分離できる。



第1圖
(6-4-0) 溶液からの人工サビ生成反応の様子

消費したアルカリ量から、人工サビ部分(A)を通過した OH^- イオンの平均通過速度を求め、電流密度の形で表わすと、(6-4-0)で 6.2 mA/cm^2 、(6-3-1)および(6-3.8-0.2)では 5.5 mA/cm^2 となる。 $\text{Cu}(\text{II})$ の存在で少しあそぶ。

3) 機械的強さ

(6-3.8-0.2)のように、0.2以上の $\text{Cu}(\text{II})$ を含む溶液から生成した人工サビでは(6-4-0)にみられるようす沈殿の崩落(c)は起らず、機械的強さも大きい(定量的な測定ができていながら、さかさにした洗ビンのジェットを吹きつけても壊れない)。

4) 表面の不均一組織

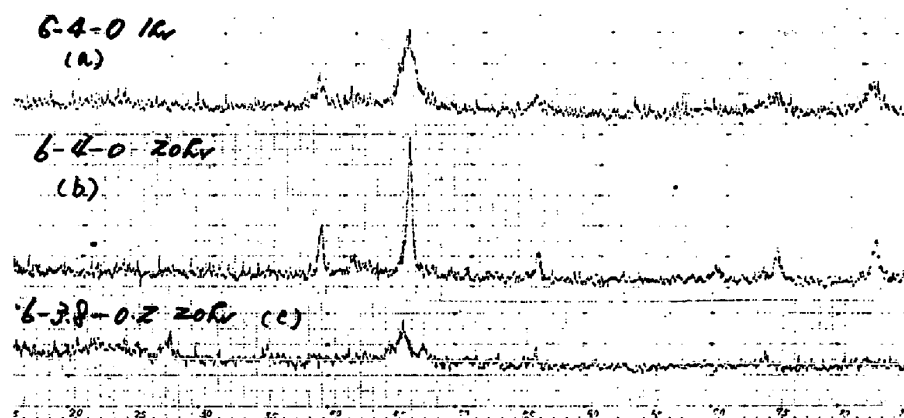
例えば(6-3.8-0.2)から生成する人工サビは表面に不均一な赤・オレンジ・黒の部分が数多く存在し、酸に対してこの部分がピット状の溶解をする。

5) X線回折による同定

第2圖a)は(6-4-0)1hr, b)は(6-4-0)20hr経過の人工サビのX線回折图形である(Fe対陰極)。

スピネル型酸化物(Fe_3O_4 または $\gamma\text{-Fe}_2\text{O}_3$)の回折線が時間のたつ程シマーフロー率 γ 、結晶粒の成長を示している。c)は(6-3.8-0.2)20hrのものでスピネル型酸化物が消失し、非晶質化している。かすかに

第2圖 X線回折图形



$\alpha\text{-FeOOH}$ の生成が認められるようである。全系について X 線分析の結果を Fig. 3 図に示した。Cu(II) の少量の存在によってスピネル型酸化物の成長が阻止されるという著しい効果がみられる。 $(10-0-0)$ および中央部分に全く非晶質 (X 線的にみて) の部分がある。

6) BET 表面積

N_2 吸着による標準的測定法によつて人工サビの比表面積を測定した。Fig. 1 表に示すように Cu²⁺ 存在しない場合と Cu²⁺ 存在する 3 場合にくらべて、比表面積は約 1/4 である。Cu²⁺ 存在ではじめに生成した沈殿粒子の成長が阻害されたものと考えられる。Cu²⁺ の影響は 0.2 以上で現われる。われわれの研究室の屋上に 1 ヶ年暴露した実際の鋼板の浮サビおよび密着サビについての BET 比表面積の測定結果もあわせて Fig. 1 表に示した。耐候鋼系統の密着サビの方がむしろ比表面積が大きい。

7) 水分吸収量

人工サビを、純水を入れたデシケータ中に 30°C で長時間保存し、その時の水分吸収量を 110°C 乾燥重量に対する % を示すと、 $(6-4-0)$ で 10% に対し $(6-3-1)$ では 32% と大きな値を示し、比表面積と対応している。

8) 共存する他の陽イオンの効果

$(6-3.8-0.2)$ 系統の組成で CuCl_2 の代りに CoCl_2 , MnCl_2 , NiCl_2 , CrCl_3 , ZnCl_2 を加えた場合の反応の様子を調べた。 Co , Mn , Ni の場合は $(6-4-0)$ と変わらぬが Cr , Zn の添加は人工サビの機械的強さを少し薄くする (Cu²⁺ の効果には及ばない)。X 線回折ではスピネル型酸化物のシャープな回折線が認められる。

9) 共存する陰イオンの効果

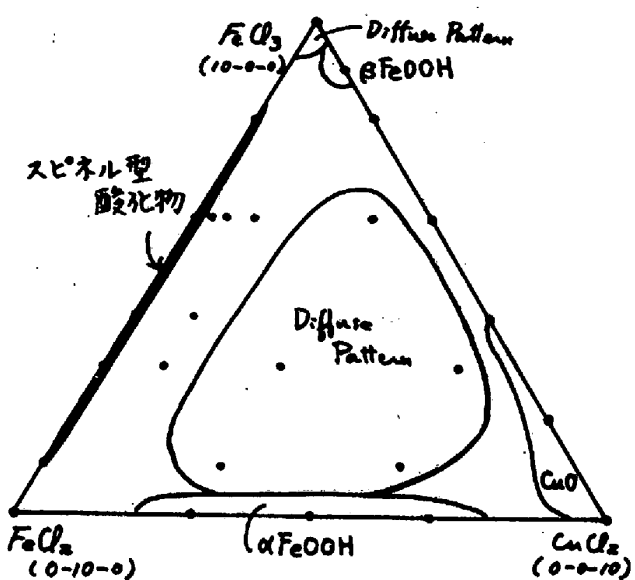


Fig. 3 図 塩化物溶液より生成した人工サビのX線分析

Fig. 1 表 BET 比表面積

($\times 10^6 \text{ cm}^2/\text{g}$)

人工サビ

鋼液溶液組成	比表面積	溶液組成	比表面積
10-0-0	2.30		
9-1-0	1.96	9-0-1	1.86 2.08
8-2-0	1.55 1.56	8-1-1	2.56 2.46
7-3-0	1.26	7-2-1	2.16
6-4-0	1.21	6-3-1	2.20
			1.86
5-5-0	0.92	5-4-1	1.84 1.63
3-7-0	0.54	3-6-1	1.58

実用鋼のサビ

普通鋼	比表面積	耐候鋼	比表面積
密着サビ	0.42	密着サビ (A社)	0.62
	0.27		0.59
浮サビ		密着サビ (B社)	0.66
			0.51
浮サビ	0.41	浮サビ	0.43 0.51

S530

NaOH 溶液側に CrO_3 , Na_3PO_4 をそれぞれ 0.06M, 0.03M とする ように添加して人工サビを生成させる。結果は (6-4-0), (6-3.8-0.2) の 2 タル - 70° にわかれ、 $\text{Cu}(\text{II})$ の存在が大きく効いており、陰イオンによる差は顕著でない。

10) (II) のまとめ

塩化物溶液により生成させた人工サビの種々の性質に対して少々、 $\text{Cu}(\text{II})$ の存在が著しい影響を及ぼし、それが Cu の特有のものであることがわかった。すなわち、 Cu の存在によってスピネル型酸化物の成長が阻害され、細かい構成粒の集合体ができる、機械的強さが高くなる。

(III) N_2 気流中で塩化物溶液で生成させた人工サビ (X線分析)

クローブボックスが不備のため完全に酸素を遮断し得たわけではないが、 N_2 気流中で人工サビ生成を行なった。(10-0-0) の人工サビは $\beta\text{-FeOOH}$ が同定できた。空気開放の場合には、(9-0-1) には $\beta\text{-FeOOH}$ が認められているが、(10-0-0) には認められない。0.2 $\text{Cu}(\text{II})$ の添加によってスピネル型酸化物が消失がみられるのは空気中と変わらない。今ひとつ = 空気開放と N_2 気流中との大きさの差は見出されていない。

(IV) 硫酸塩溶液により生成させた人工サビ (空気開放, X線分析)

(6-4-0), (3-7-0) 共にスピネル型酸化物の回折線が強く現われ、かつ時間と共にシャープになる。しかしともに、0.2 Cu の添加により X 線的に非晶質化する。0.2 Cu では崩落する沈殿 (C) が存在し、人工サビの機械的強さも Cu 無添加のもよりは強いが、塩化物溶液から生成させた場合よりは弱い。

硫酸塩溶液を用いた場合目立つ特色は、(6-3.8-0.2 Cr^{III}) で Cu の場合より一層徹底した非晶質化がみられることがある。

CrO_4^{2-} , PO_4^{3-} の存在の影響は X 線的には顕著でない。

(V) あらりに

われわれの研究している人工サビが耐候鋼の実際のサビとどのような関係にあるのかは全く不明であるが、実際のサビについて最近わかつて来たことのうちには、人工サビの挙動と符合しているものが多く、このものが耐候鋼のサビにおける合金添加元素の役割を考察する上にいくつかの手掛りを与えてくれるものと思う。

サビ層形成のコロイド化学的な側面からの基礎研究としてこの人工サビの仕事はまだ緒についたばかりである。